

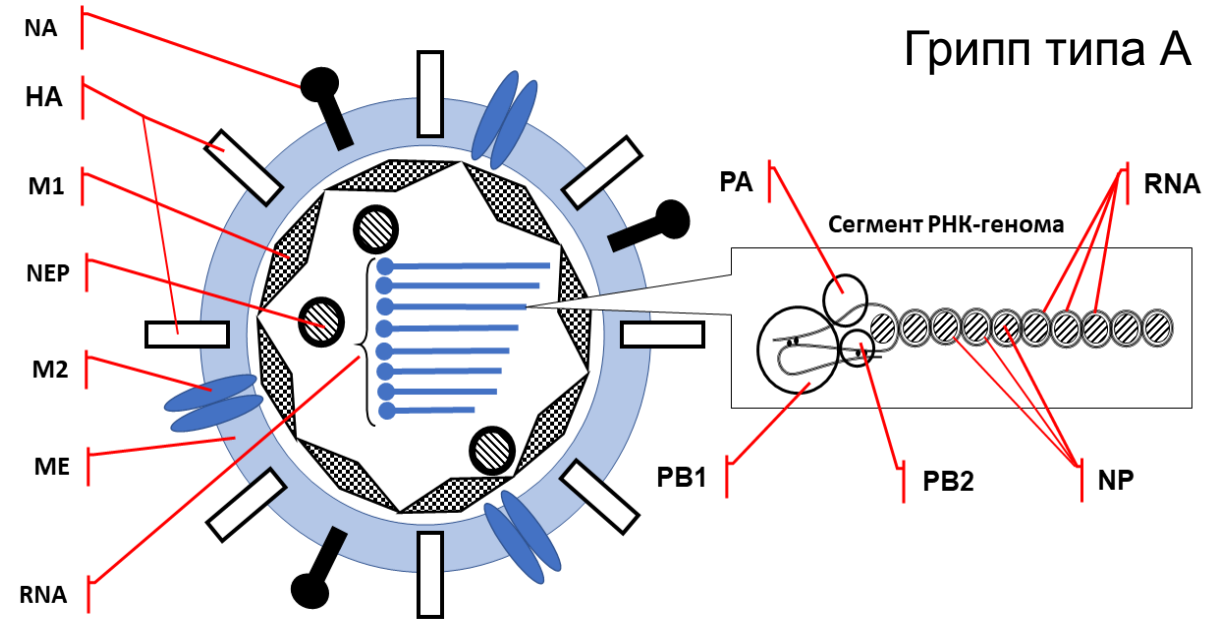
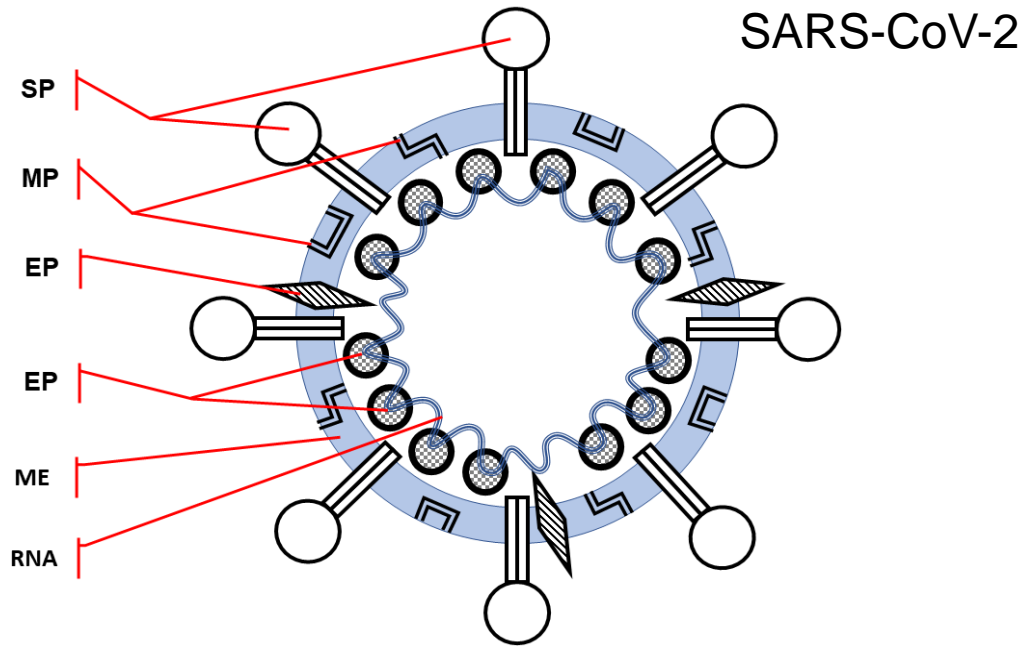


Министерство обороны Российской Федерации
ГосНИИИ военной медицины

Изменения структуры органов и тканей при инфекции SARS-CoV-2: подходы к оценке эффективности средств терапии

д.м.н. проф. С.В. Чепур*, к.б.н. О.О. Владимирова,
И.И. Алексеева, Н.М. Парамонова, А.В. Смирнова

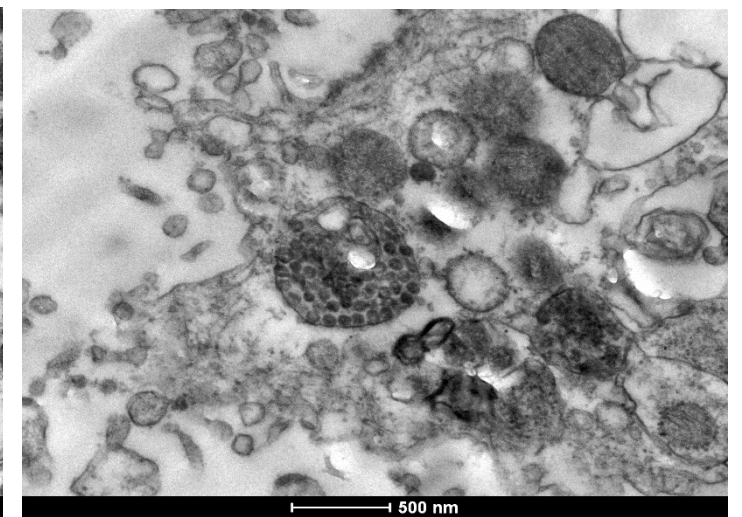
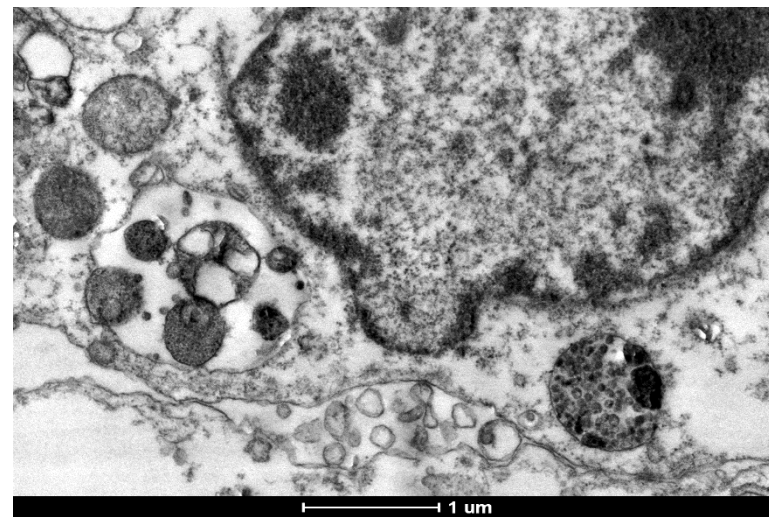
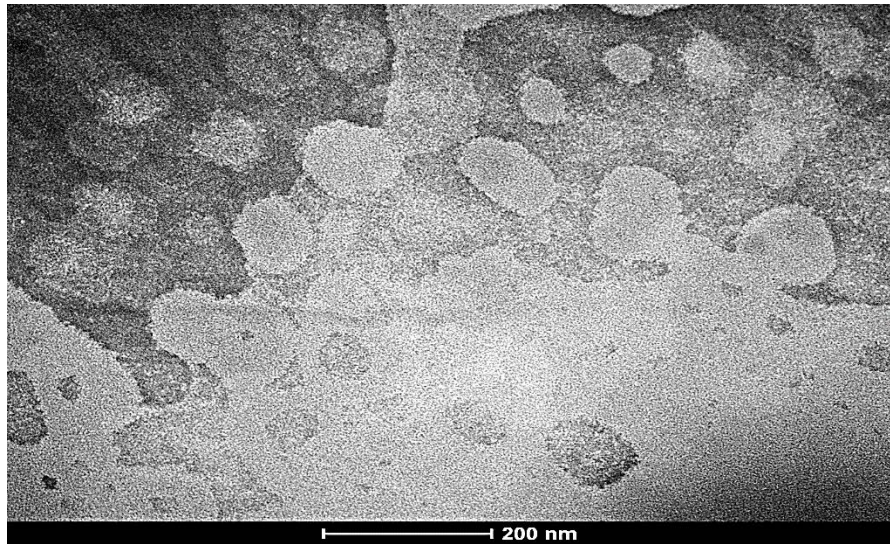
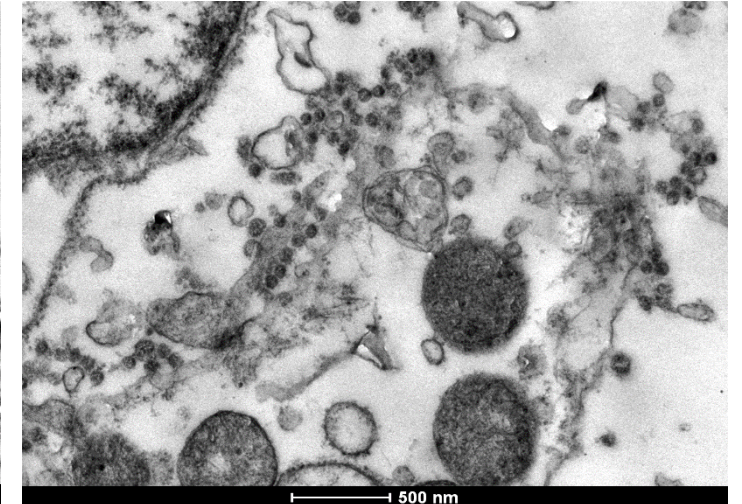
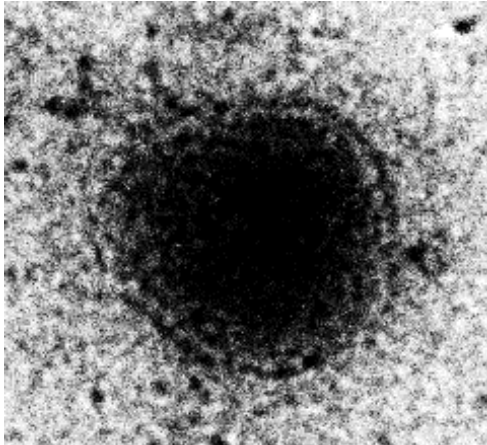
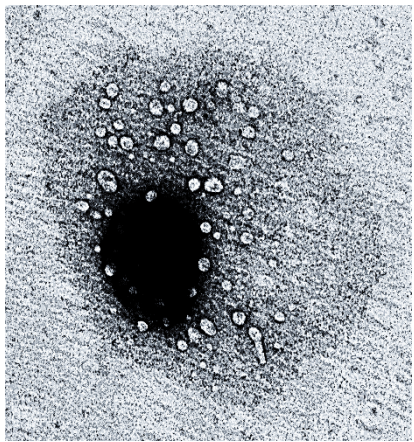
Сравнение строения вирусов SARS-CoV-2 и гриппа



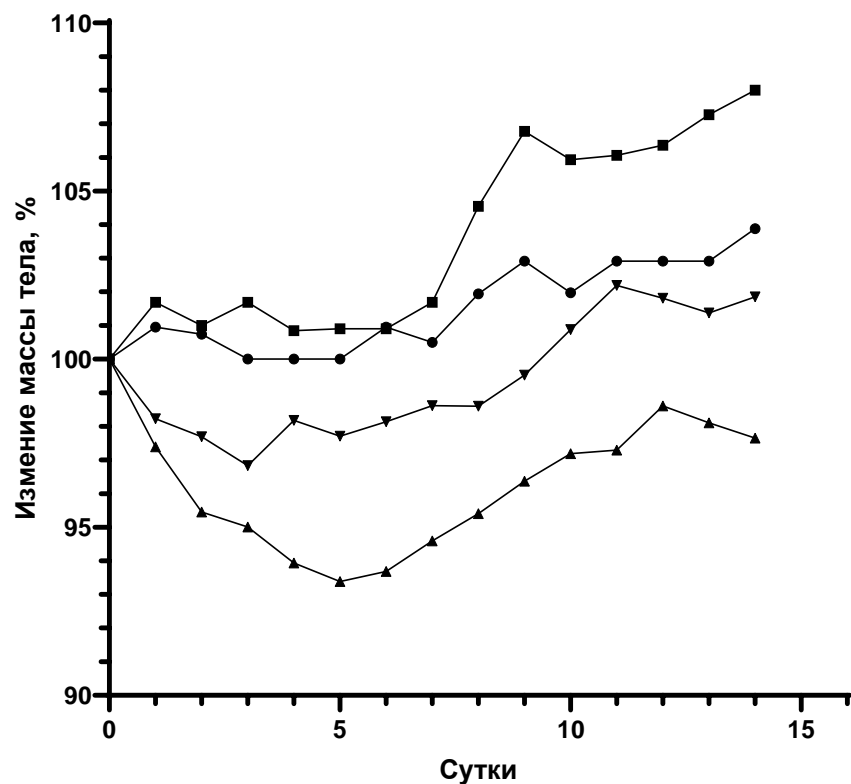
SP – S-белок (тример), MP – димер мембранного протеина в различных конформациях, EP – трансмембранный оболочечный белок, ME – фосфолипидная мембрана, RNA – РНК (положительно полярная), NP – нуклеокапсидный белок

HA – гемагглютинин (тример), NA – нейраминидаза (тетрамер), M1 – матричный белок 1, M2 – матричный белок 2, NEP – белок ядерного экспортера, RNA – отрицательно-полярная РНК в составе рибонуклео-протеиновых сегментов, NP – нуклеокапсидный белок, PA – кислый полимеразный белок, PB1 – основной полимеразный белок 1, PB2 – основной полимеразный белок 2

Накопление вируса в культуре Vero-B



Моделирование инфекции у сирийских хомячков

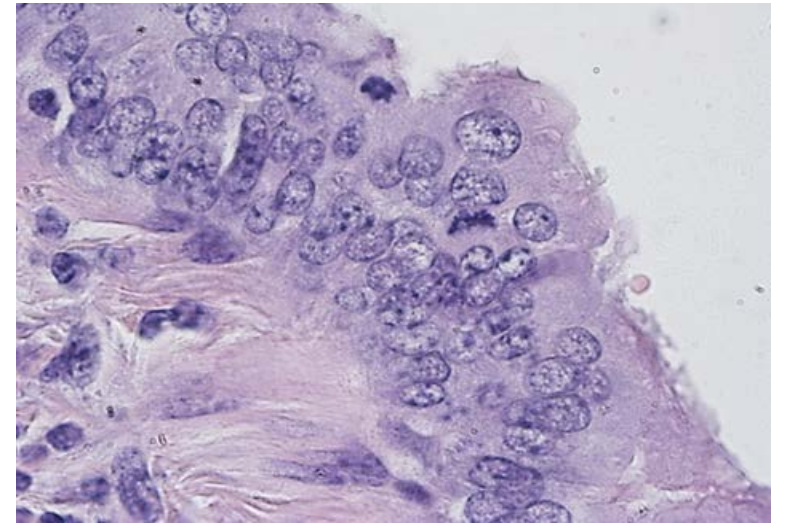
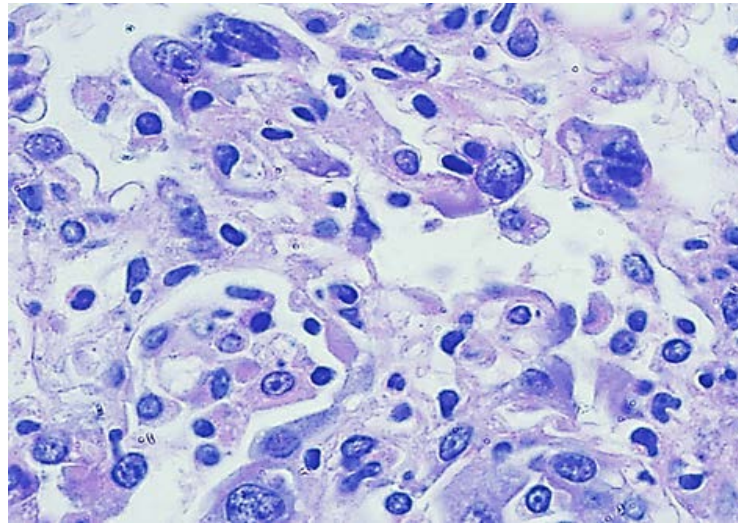
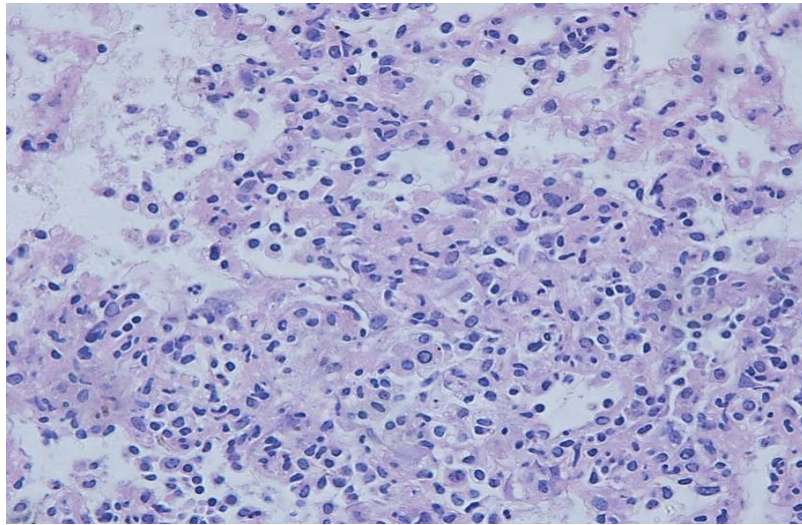
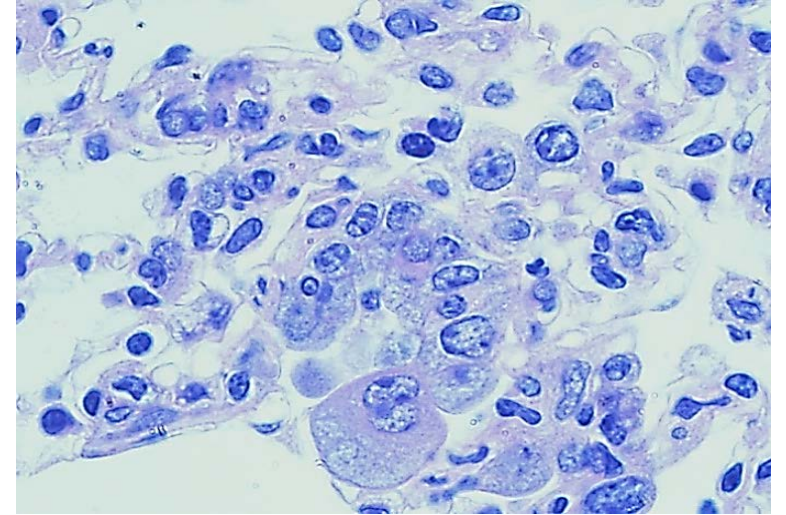
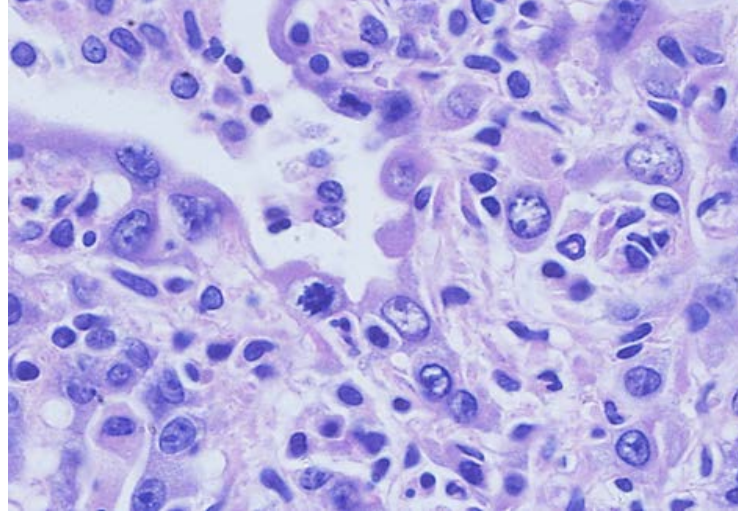
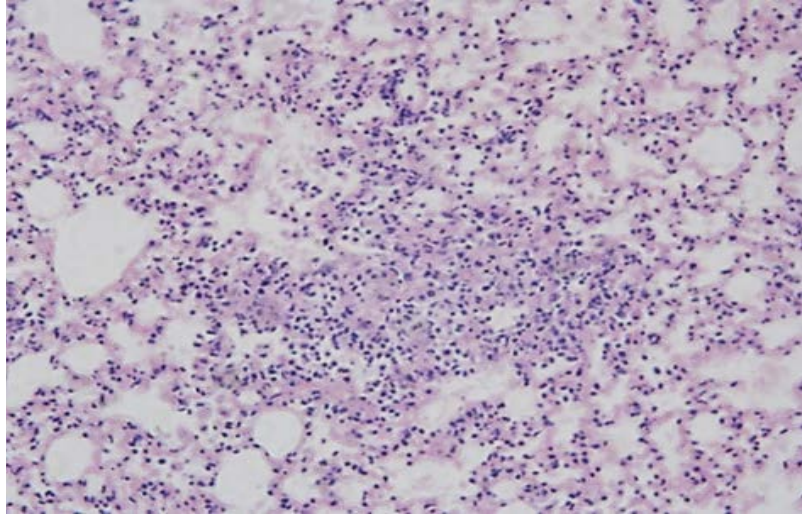


- Интактные самцы
- Интактные самки
- ▲ Самцы SARS-CoV-2
- ▼ Самки SARS-CoV-2

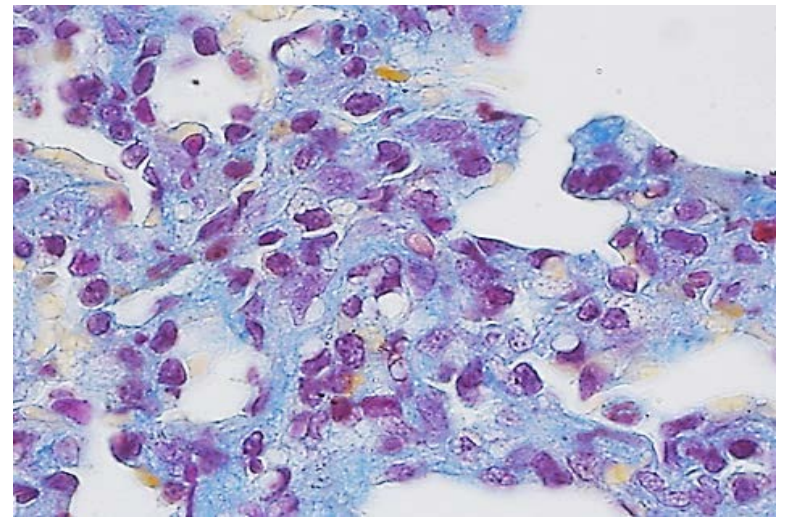
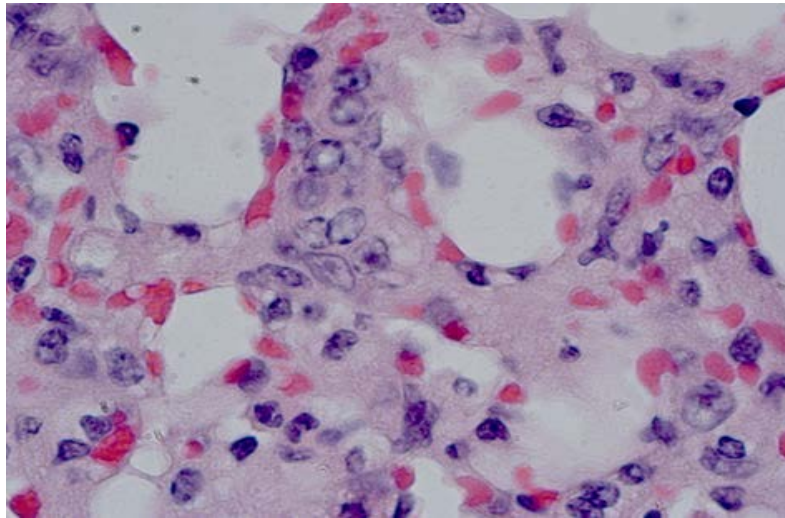
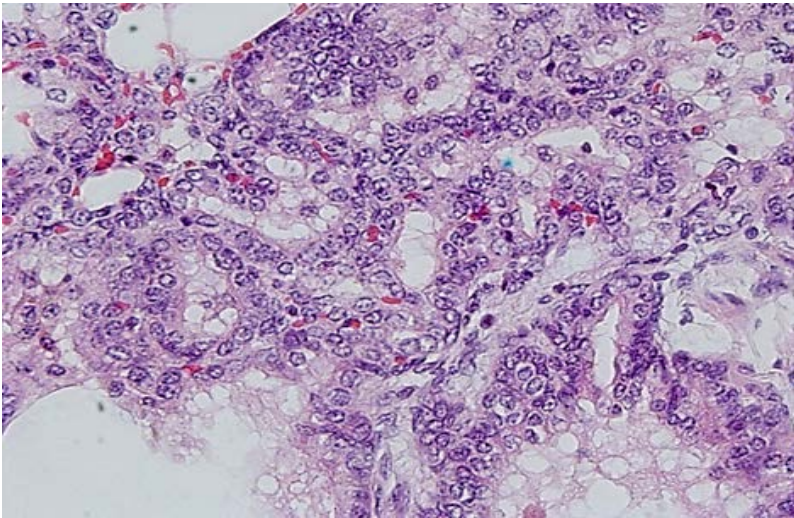
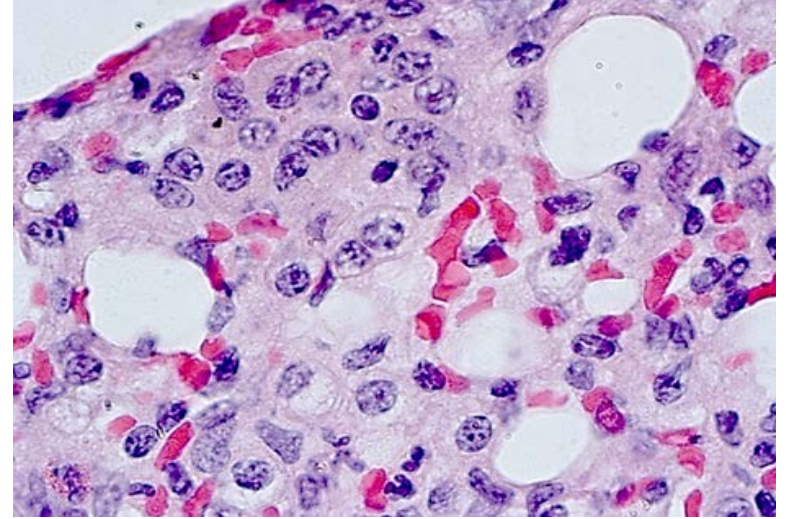
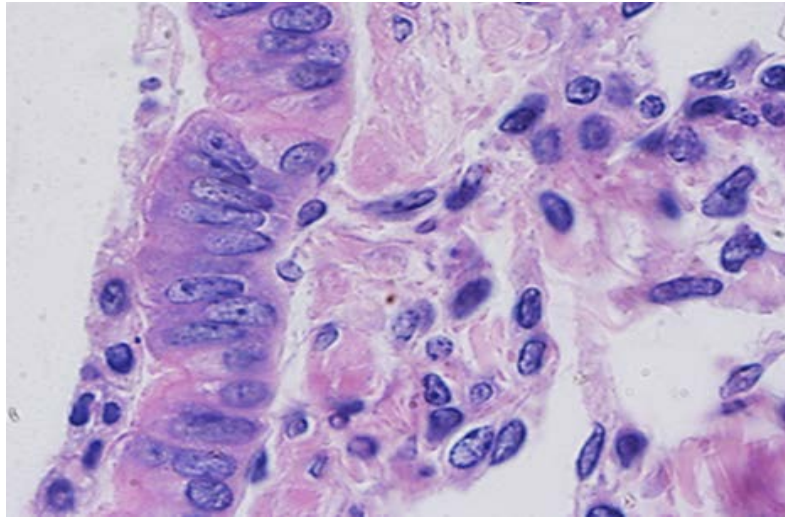
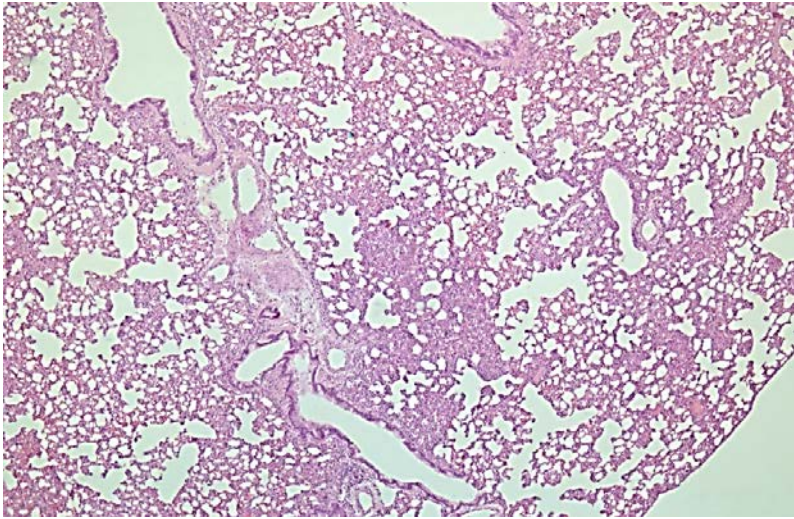
Носовые раковины

Лёгкие

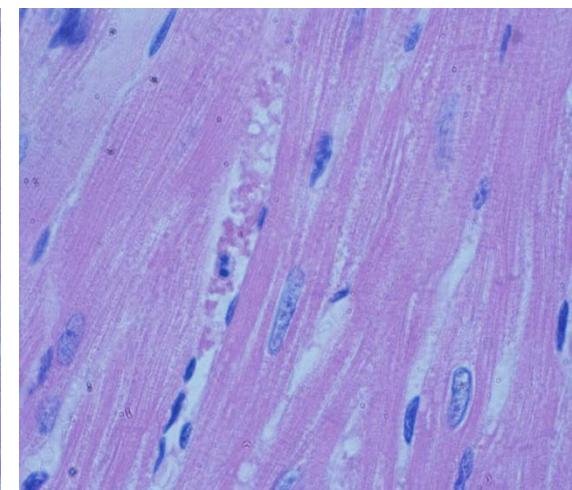
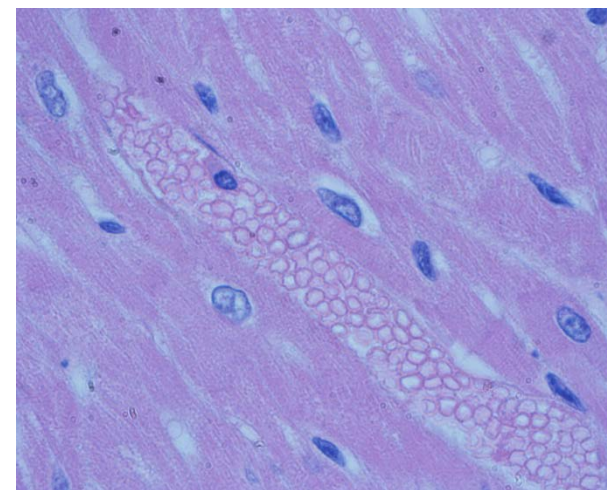
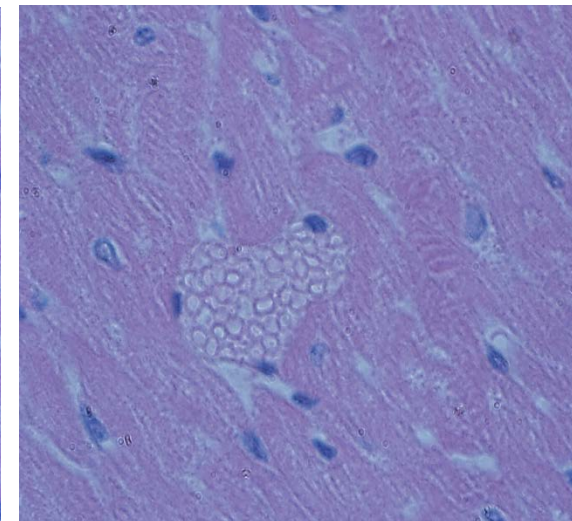
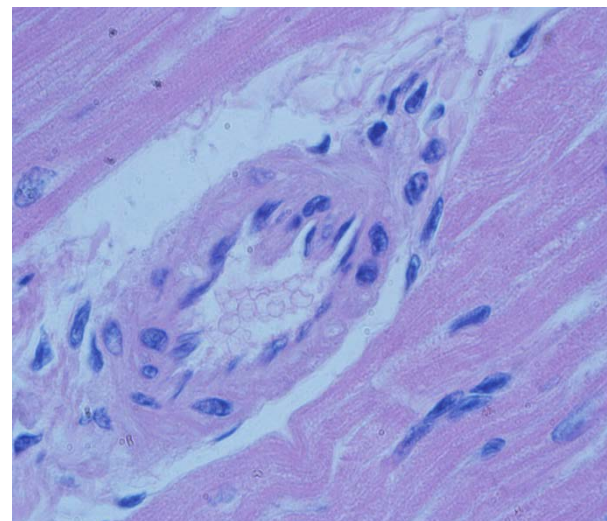
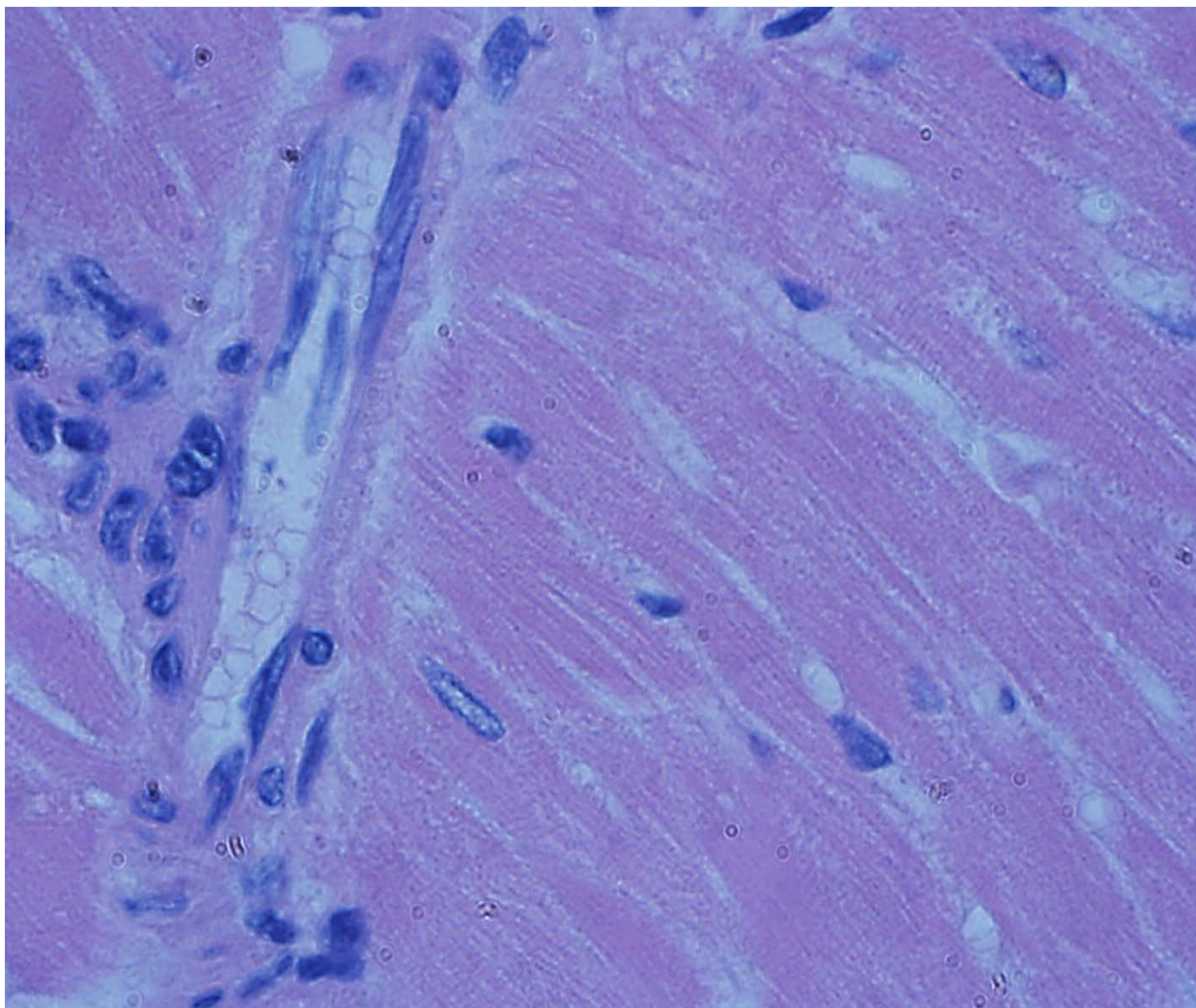
Структурные изменения легких (1)



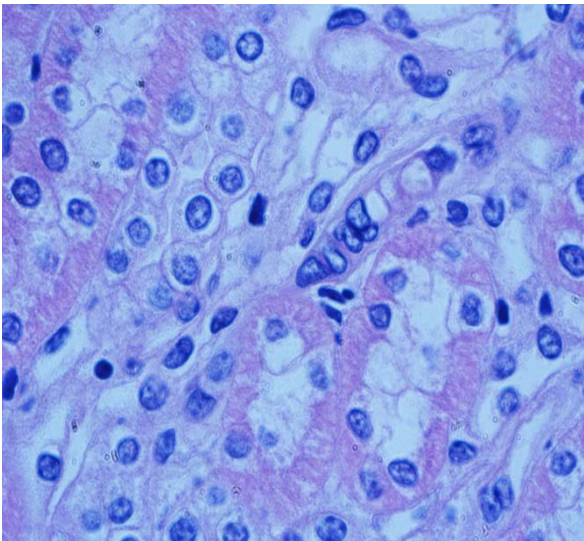
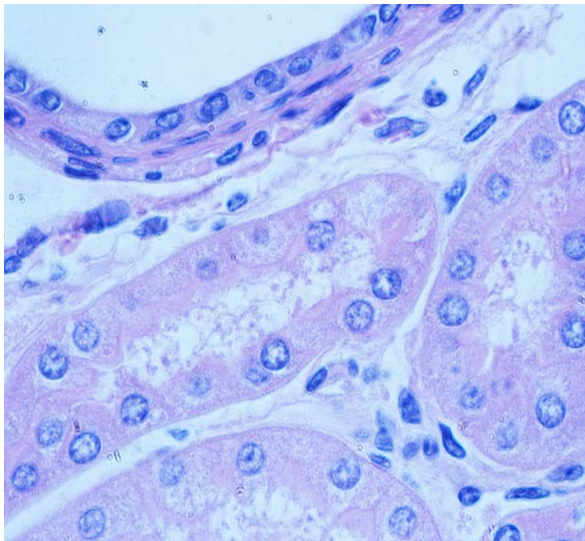
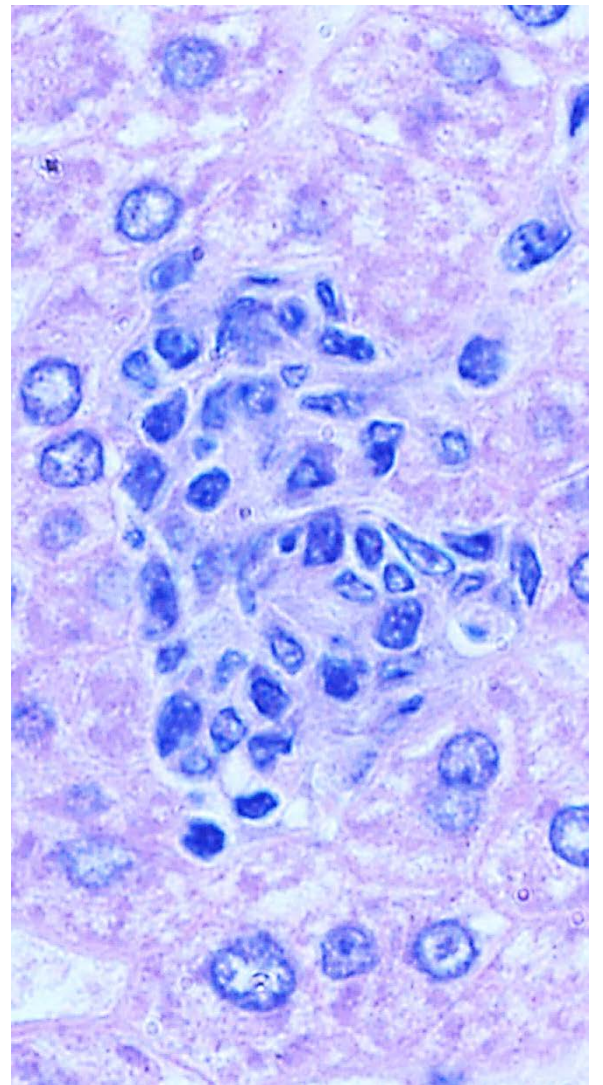
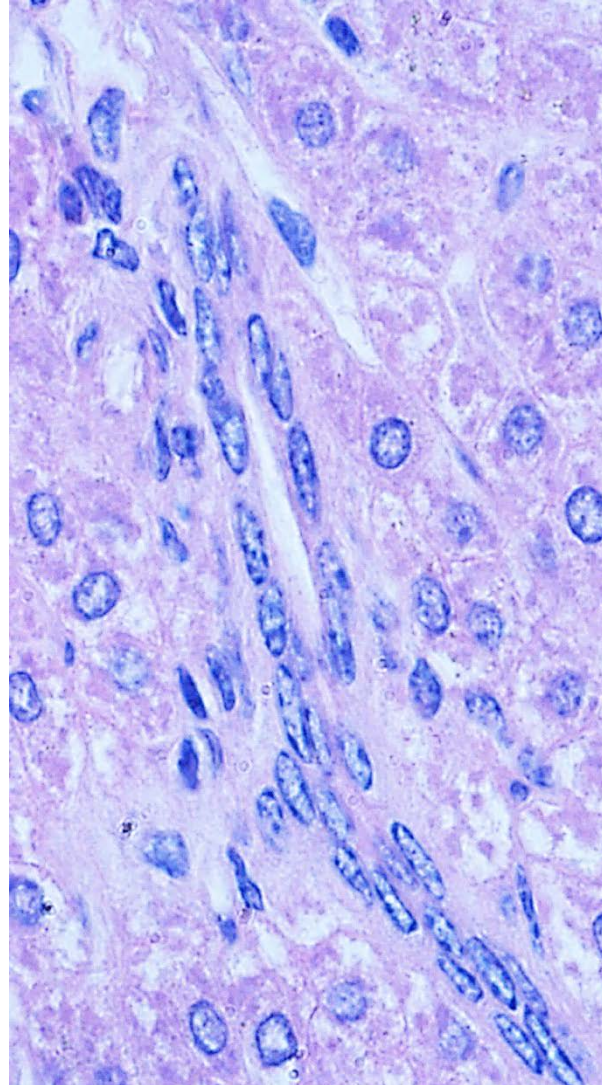
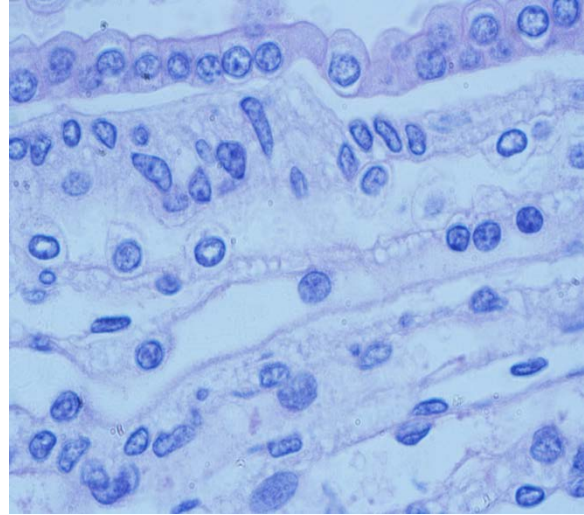
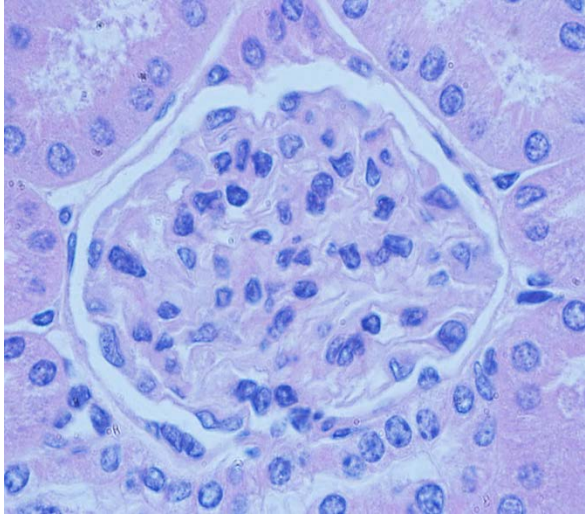
Структурные изменения легких (2)



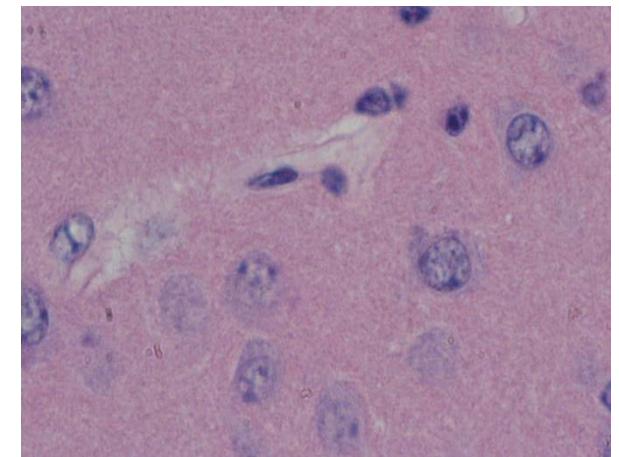
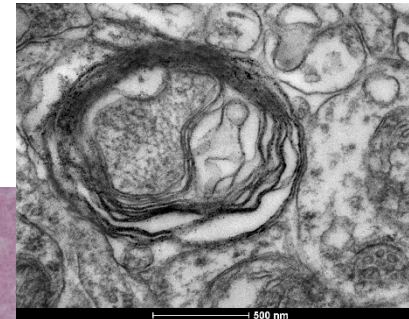
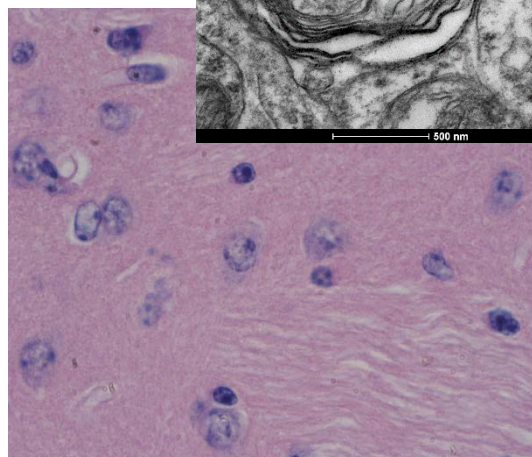
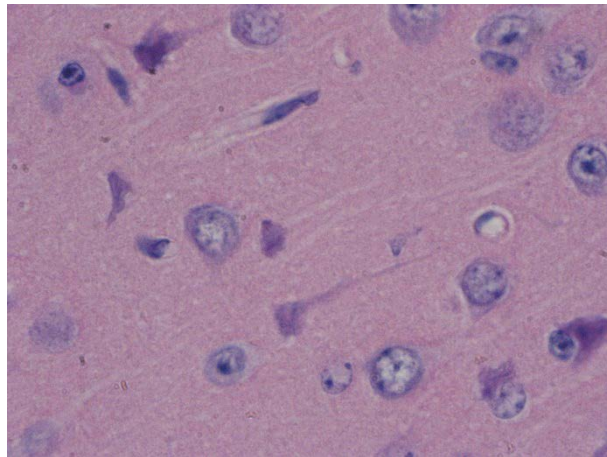
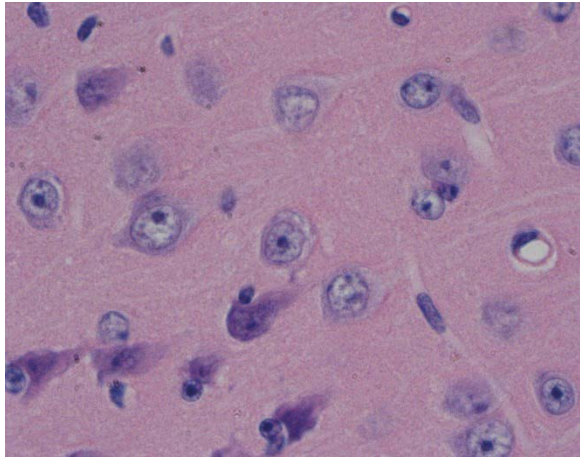
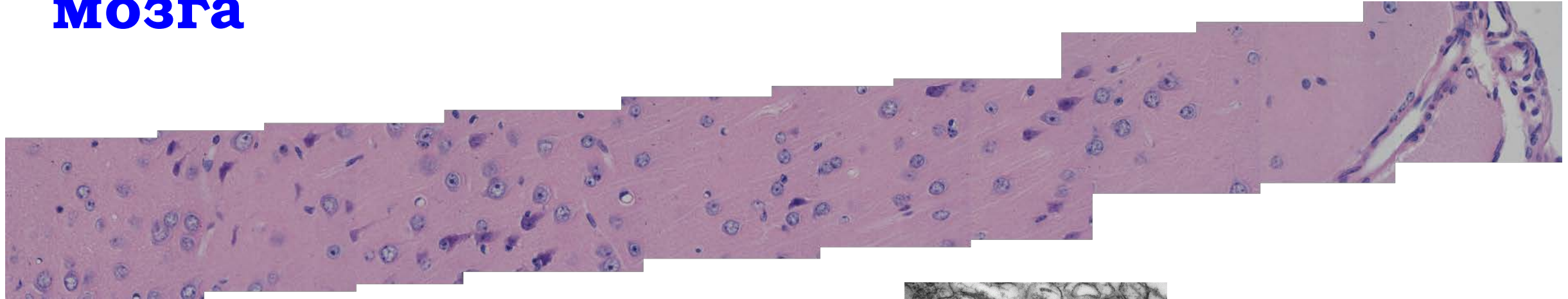
Структурные изменения сердца



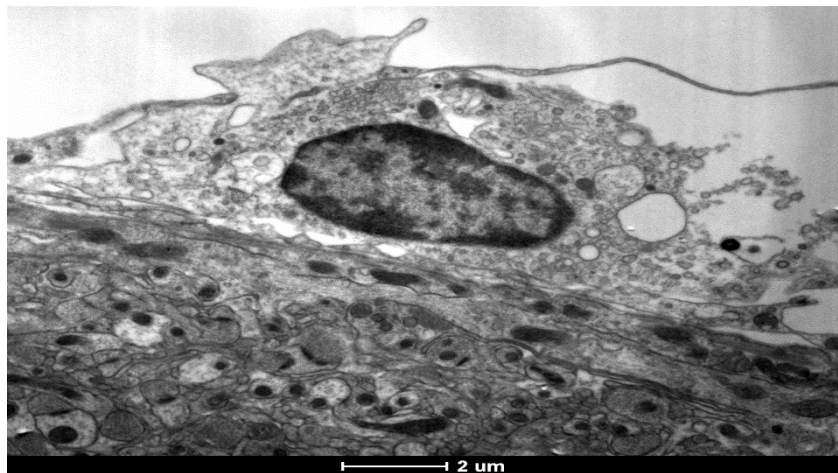
Структурные изменения почек и печени



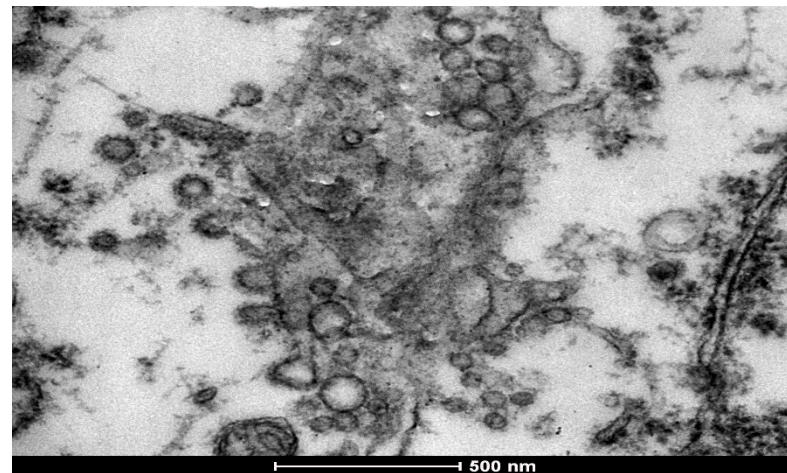
Структурные изменения коры головного мозга



Локализация вируса в клетках ЦНС



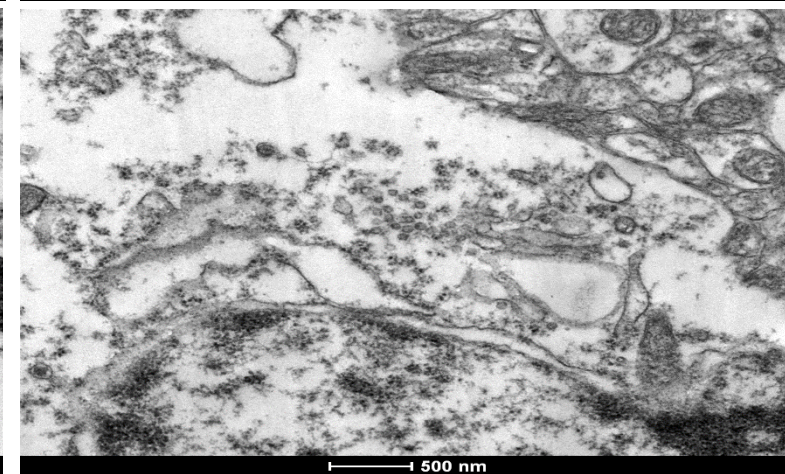
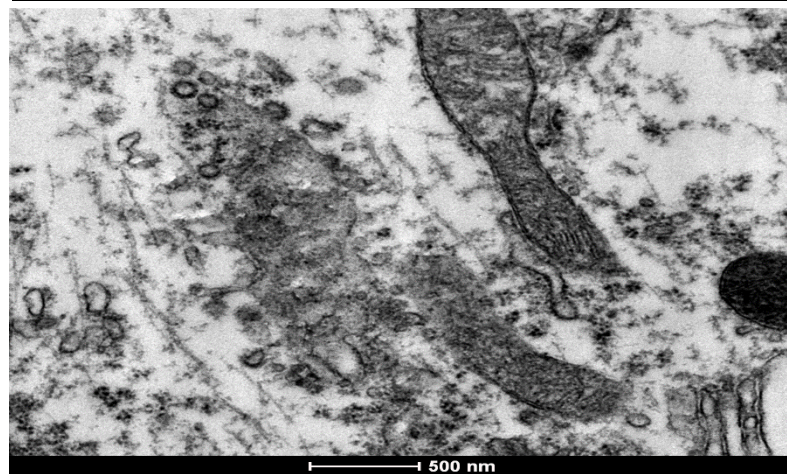
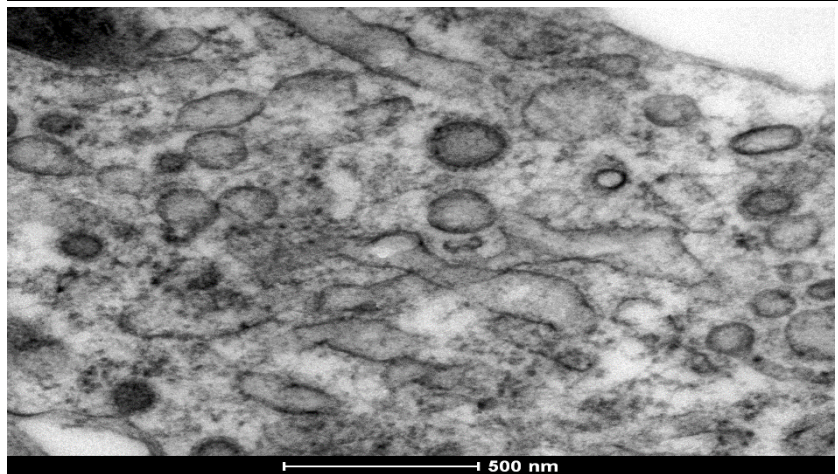
Эпендимоцит



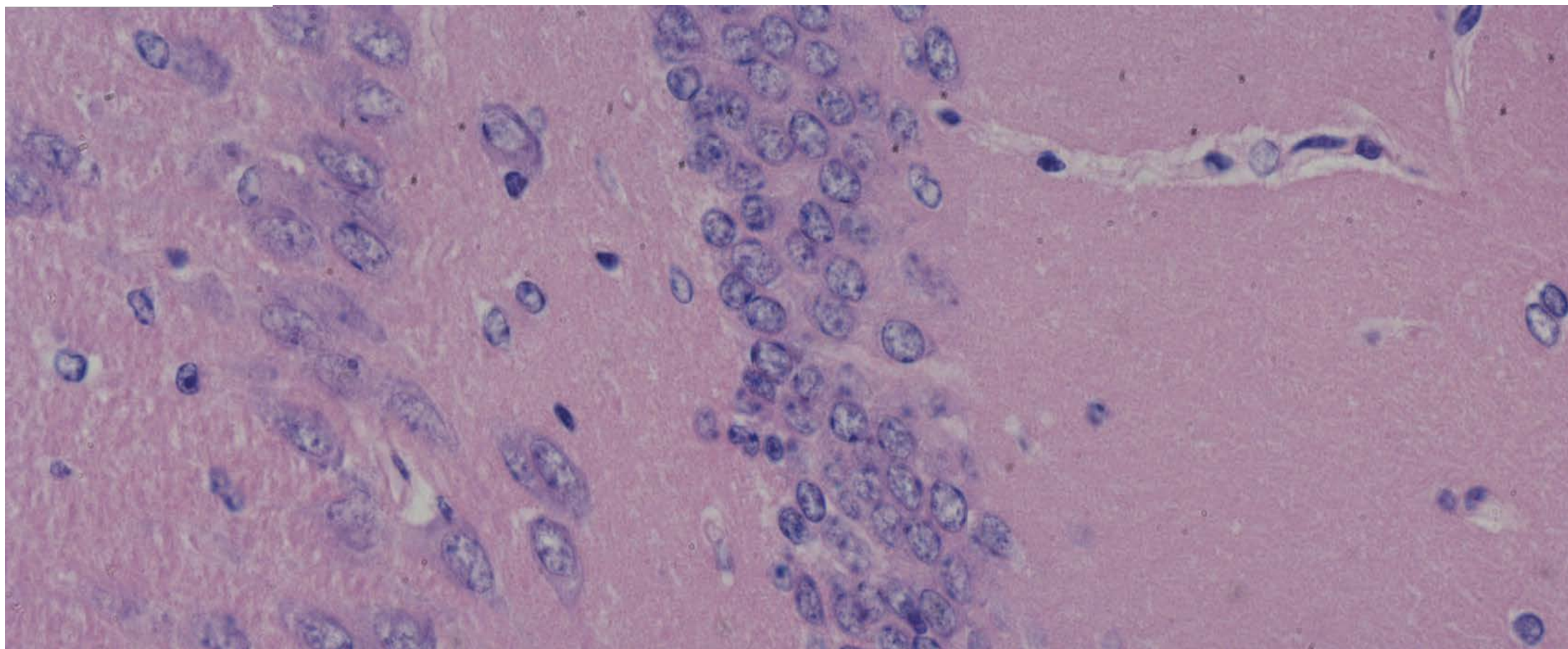
Нейроцит



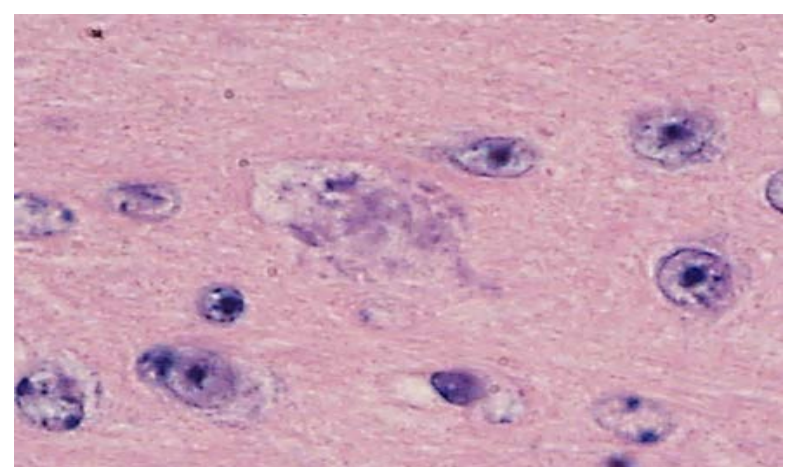
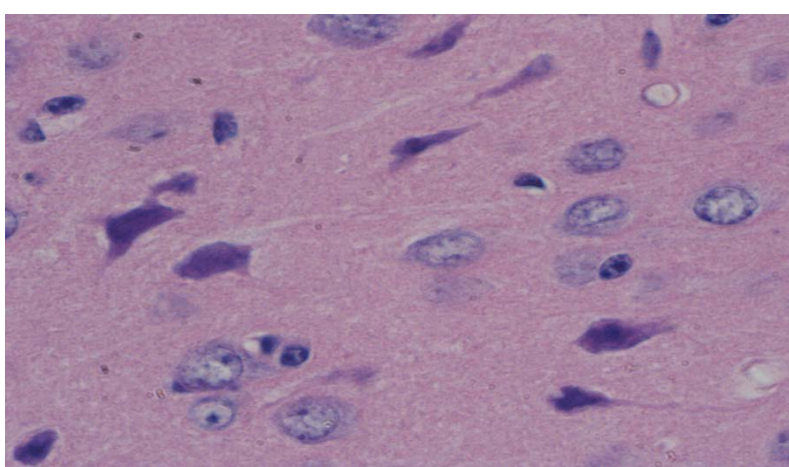
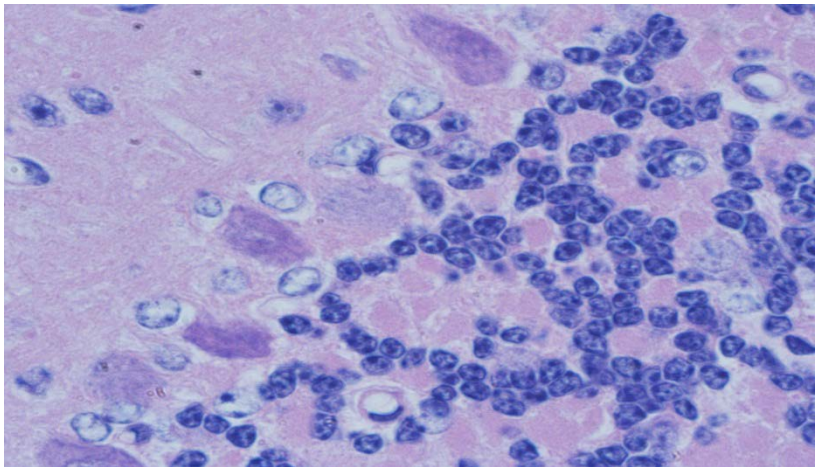
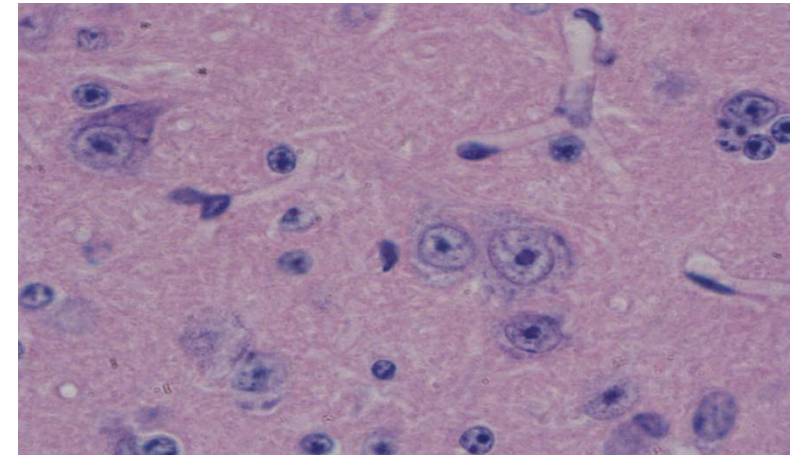
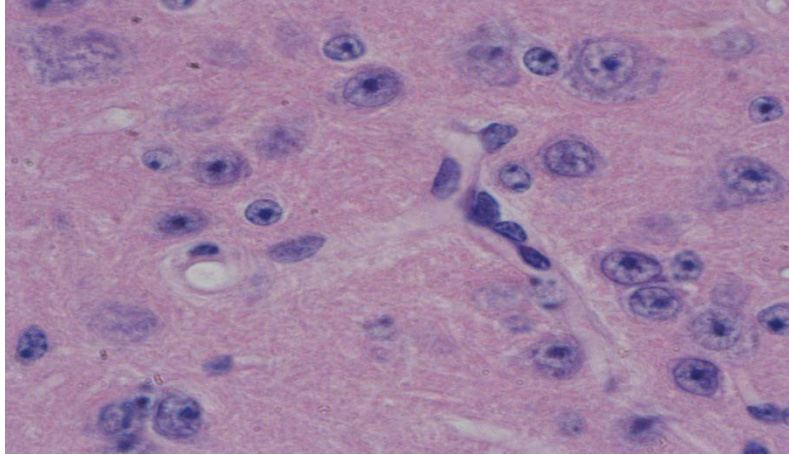
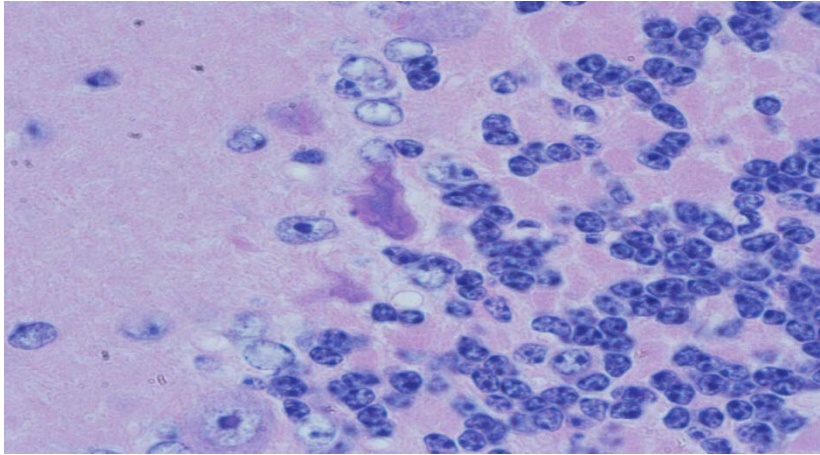
Олигодендроглиоцит



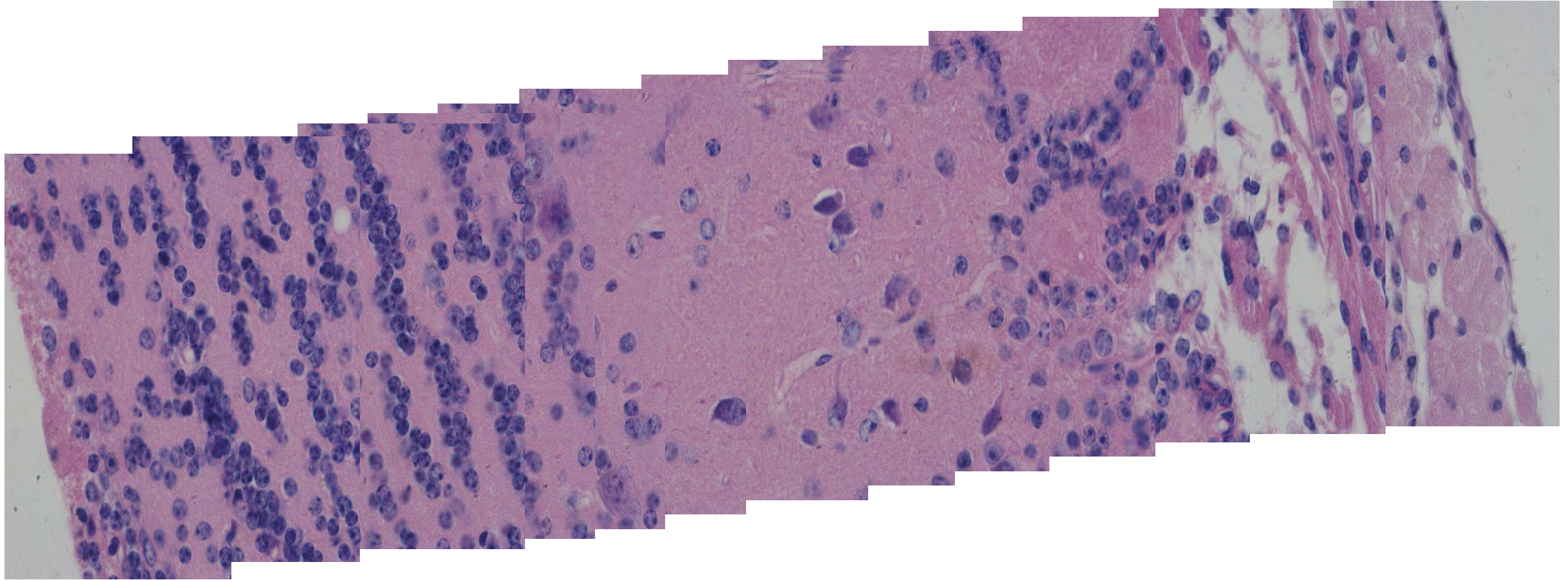
Структурные изменения гиппокампа



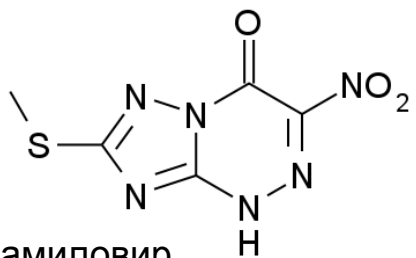
Структурные изменения субкортикальных структур мозга



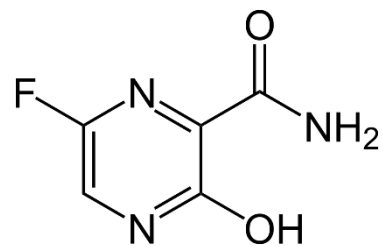
Структурные изменения обонятельных луковец



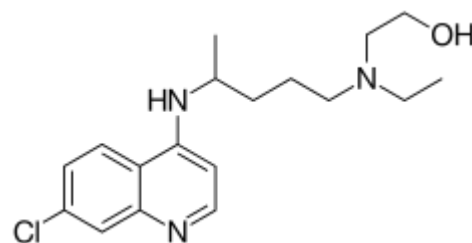
Варианты средств этиотропной и патогенетической терапии заболевания



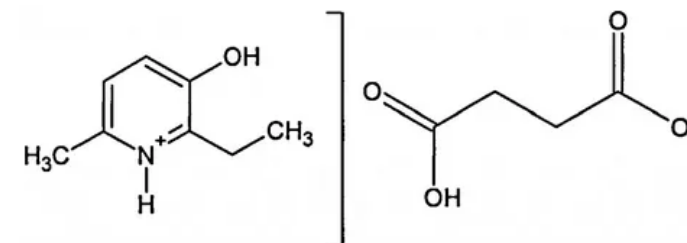
риамиловир



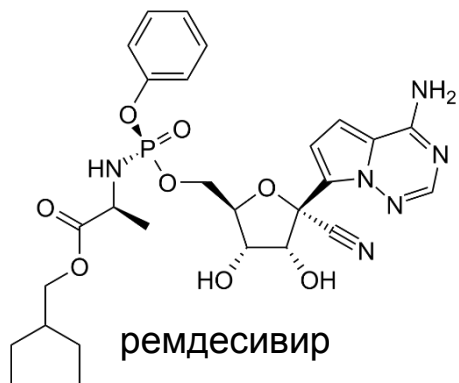
фавипиравир



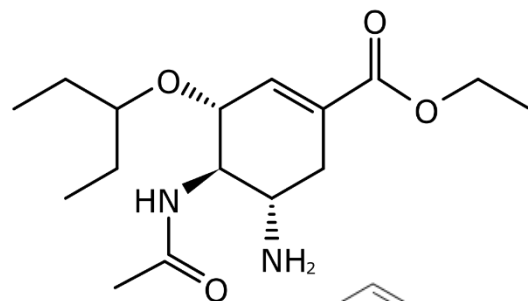
гидроксихлорохин



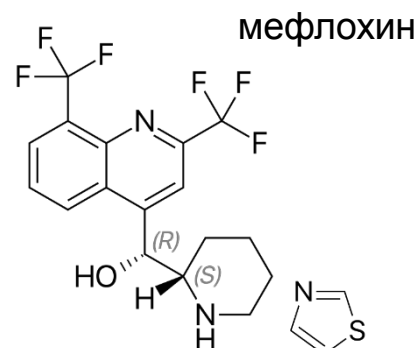
эмоксипин



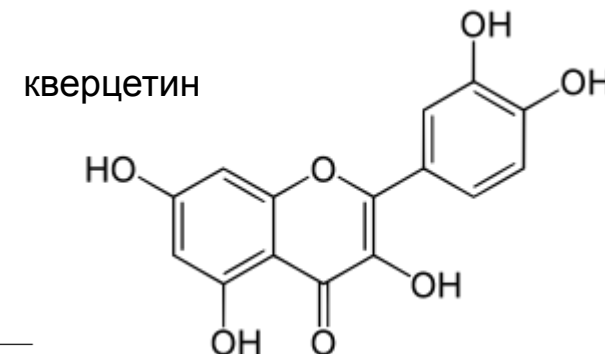
ремдесивир



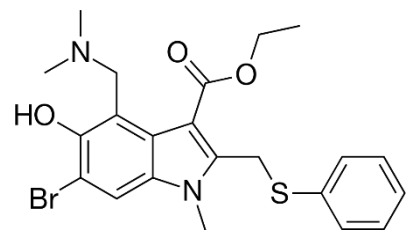
осельтамивир



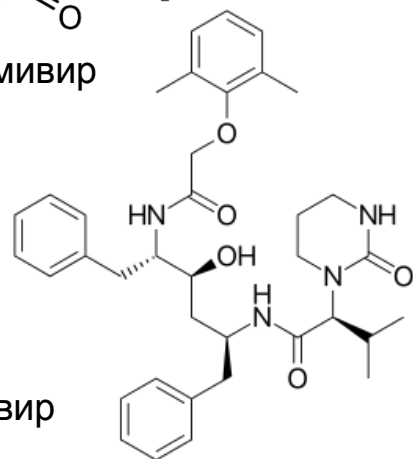
мефлохин



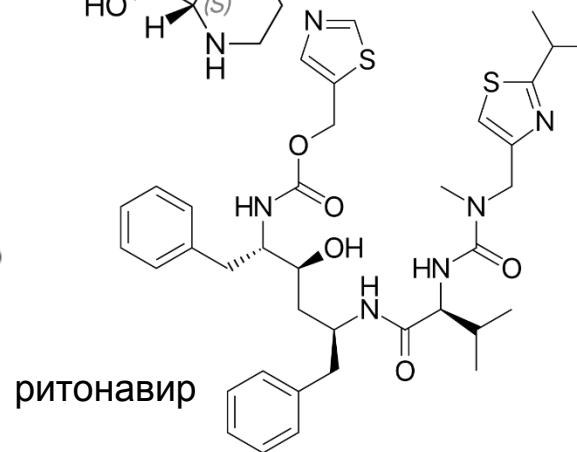
кверцетин



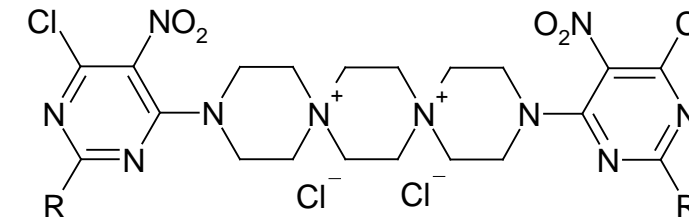
умифеновир



лопинавир



ритонавир



PDSTP